

Figura 18.3. La parte sombreada representa el intervalo de confianza (95%) de la distribución a posteriori.

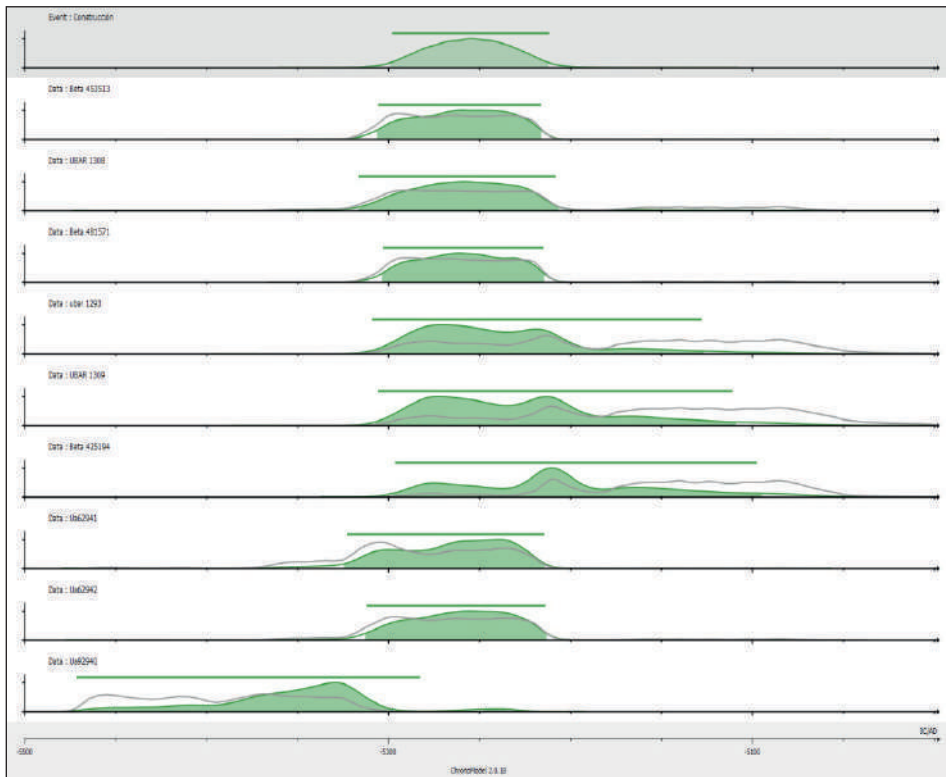


Figura 18.3. La parte sombreada representa el intervalo de confianza (95%) de la distribución a posteriori.

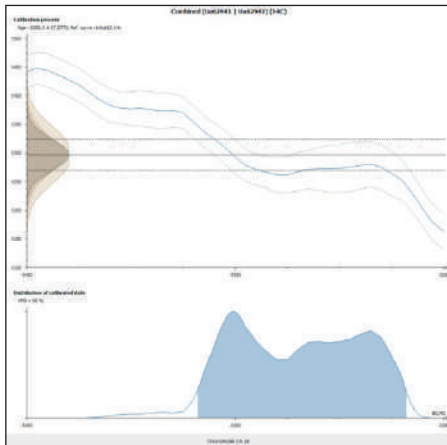


Figura 18.4. Intervalo de probabilidad de la combinación de las dataciones Ua62941 y Ua62942. Test de χ^2 superado al 95%. Dendrocronológicamente ambas muestras proceden del último anillo de crecimiento de troncos de *Quercus* sp. caducifolio cortados el mismo año y en la misma estación.

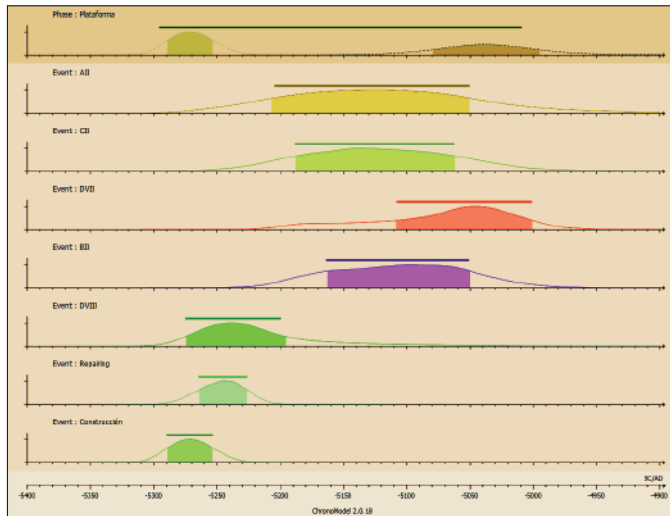


Figura 18.6. Estimación bayesiana de los intervalos de probabilidad del momento de construcción de la plataforma de madera original y de su uso a lo largo del tiempo, evidenciado en las sucesivas reparaciones –nuevos troncos añadidos que habrían sustituido a los iniciales– a lo largo de 25 años (hipótesis dendrocronológica), y las muestras datadas relacionadas con el uso de la plataforma. En la parte superior, el gráfico muestra con distinto trazado la probabilidad del momento de inicio (construcción) y del momento final (último uso documentado). La parte sombreada refiere el intervalo de confianza del 68%.

CONSTRUCCIÓN PLATAFORMA

REPARACIÓN PLATAFORMA

USO PLATAFORMA

POST-PLATAFORMA

POST-PLATAFORMA

POST-PLATAFORMA

POST-PLATAFORMA

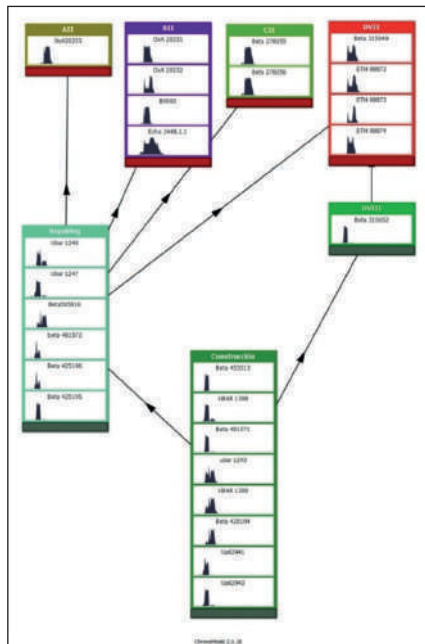


Figura 18.7. Expresión mediante álgebra de Allen de las relaciones temporales entre los cinco sucesos divididos en dos "fases".

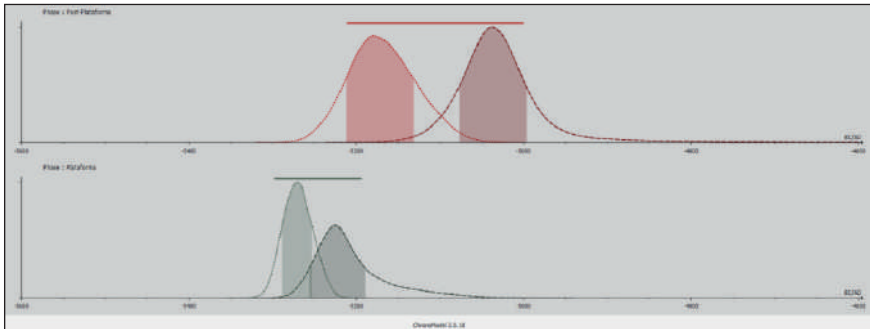


Figura 18.8. Estimación bayesiana de los intervalos de probabilidad de las dos posibles primeras ocupaciones del yacimiento. La parte sombreada refiere el intervalo de confianza del 68%.

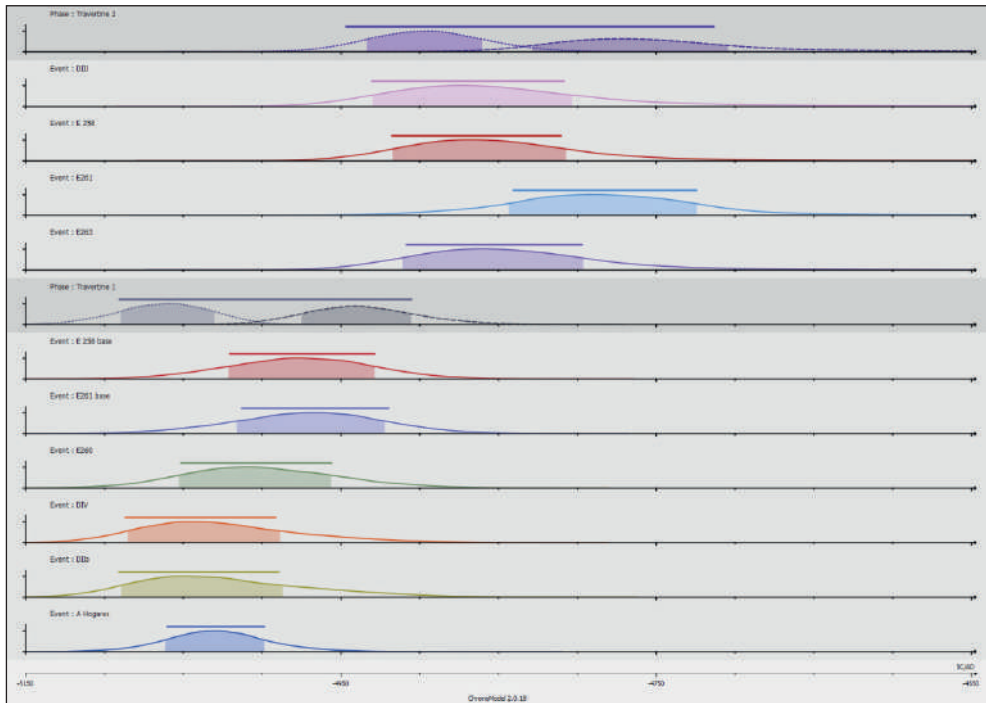


Figura 18.10. Análisis bayesiano de las dataciones asociadas a las depositaciones antrópicas de toba caliza –travertino.

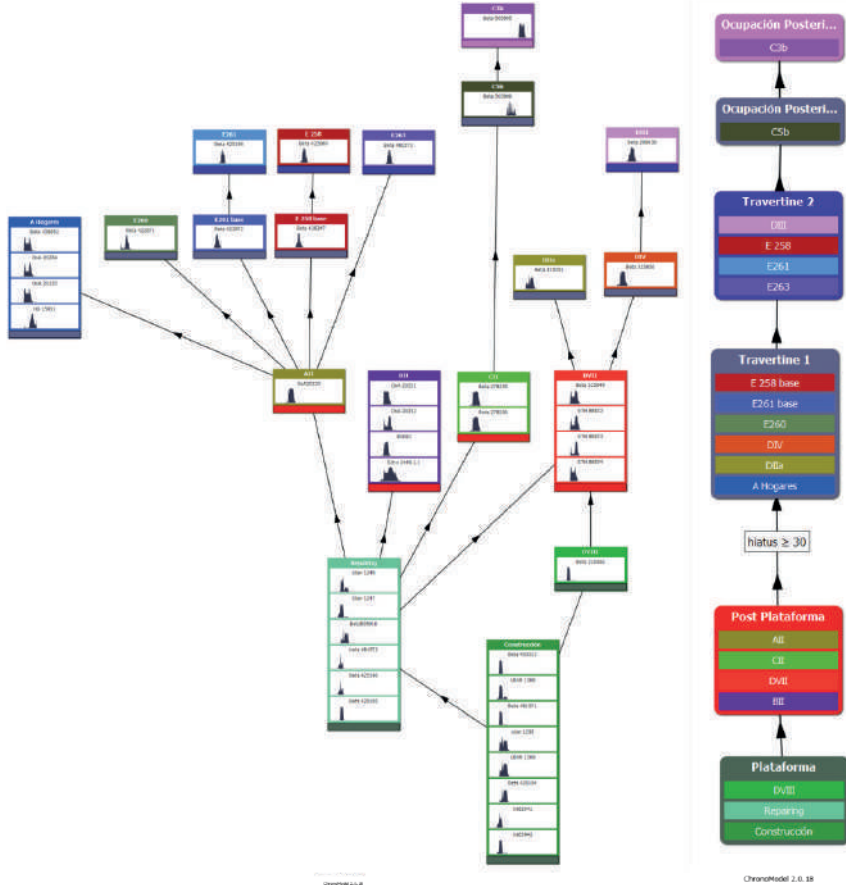


Figura 18.11. Relaciones estratigráficas entre conjuntos de dataciones, contextos arqueológicos y unidades estratigráficas empleados en el análisis bayesiano.

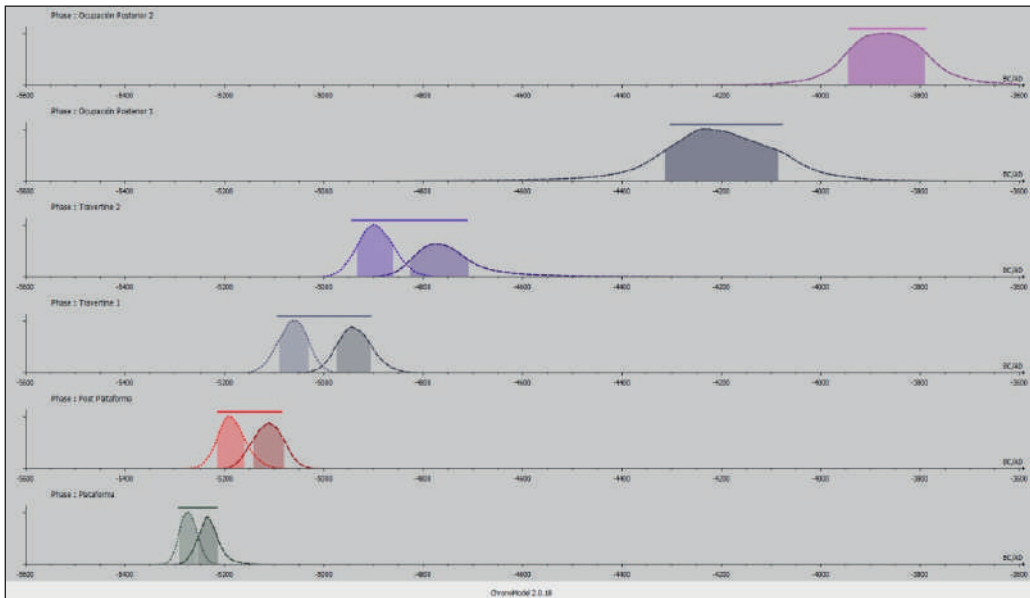


Figura 18.12. Distribución de funciones de densidad de probabilidad de las diferentes fases en las que se puede dividir la ocupación del sitio de La Draga.

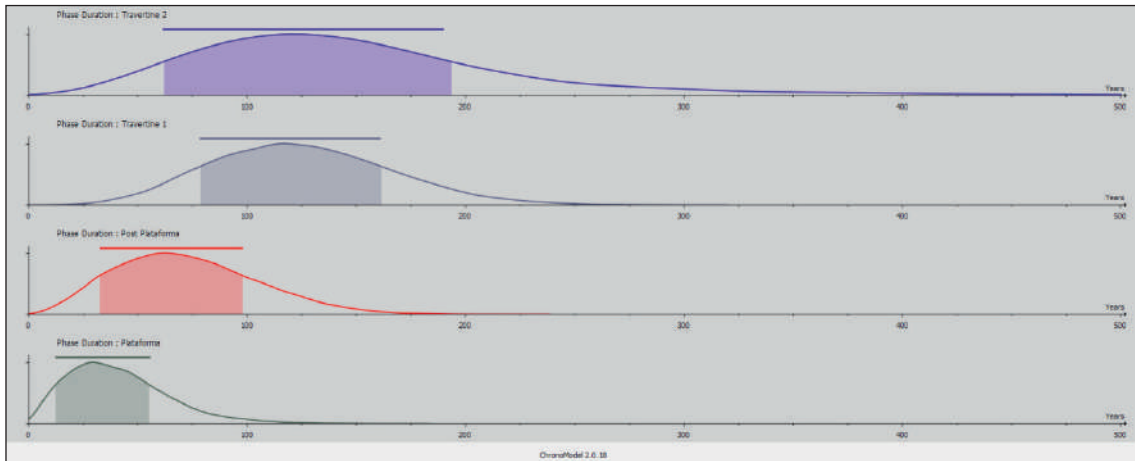


Figura 18.13. Análisis probabilístico del intervalo de duración de cada una de las fases u ocupaciones identificadas en la secuencia de ocupación del sitio de La Draga.